

پیاده‌سازی فشرده‌سازی تلفاتی تصویر توسط موجک CDF(۲,۲) در CPLD

عباس علی لطفی نیستانک، محمد محقق حضرتی، مهدی شاری و نرگس احمدی

جدول ۱: انواع داده‌های چندرسانه‌ای و فضای مورد نیاز برای ذخیره آنها

Multimedia Data	Size/Duration	Bits/Pixel (bpp) or Bits/Sample (bps)	Uncompressed Size
A page of text	۱۱"×۸,۵"	Varying resolution	۱۶-۳۲ kbits
Telephone quality speech	۱ sec	۸ bps	۶۴ kbits
Grayscale Image	۵۱۲×۵۱۲	۸ bpp	۲,۱ Mbits
Color Image	۵۱۲×۵۱۲	۲۴ bpp	۶,۲۹ Mbits
Medical Image	۲۰۴۸×۱۶۸۰	۱۲ bpp	۴,۱,۳ Mbits
SHD Image	۲۰۴۸×۲۰۴۸	۲۴ bpp	۱۰۰ Mbits
Full-motion Video	۶۴۰×۴۸۰, ۱۰ sec	۲۴ bpp	۲,۲۱ Gbits

چندرسانه‌ای همراه با فضای ذخیره‌سازی لازم برای آنها را بدون انجام فشرده‌سازی نشان می‌دهد. رشد کنونی کاربردهای داده‌های دیجیتالی صوتی، تصویری و ویدئویی (چندرسانه‌ای) نه تنها نیازمند روشهای کارآمدتر برای کدگذاری سیگنال‌ها و تصاویر می‌باشند، بلکه فشرده‌سازی چنین سیگنال‌هایی برای کاهش میزان ذخیره‌سازی داده‌ها و ارسال مخابراتی آنها نیز ضروری است.

تبدیل گسسته موجک یا DWT یک ابزار کارآمد و مفید برای کاربردهای پردازش تصویر و سیگنال می‌باشد [۲].

در سالهای اخیر، استفاده از تبدیل‌های موجک در فشرده‌سازی تصویر بدون تلفات [۳] و همچنین با تلفات در بسیاری از استانداردهای جدید از جمله استاندارد فشرده‌سازی JPEG۲۰۰۰ موفقیت‌آمیز بوده است [۴].

برای مقایسه از پارامترهای مختلفی نظیر میانگین مجذور خطا^۱ MSE [۱] و حداکثر سیگنال به نویز^۲ PSNR [۱] که از روابط زیر بدست می‌آیند، استفاده شده است

$$MSE = \frac{1}{MN} \sum_{i=0}^{M-1} \sum_{j=0}^{N-1} [\hat{X}(i, j) - X(i, j)]^2 \quad (1)$$

$$PSNR = 10 \log_{10} \left[\frac{256 \times 256}{MSE} \right] \text{ dB}$$

1. Mean Square Error
2. Peak Signal to Noise Ratio

چکیده: در این مقاله پس از مقایسه روشهای فشرده‌سازی تصویر از قبیل روش BTC، روش اهرام گاوسی، روش SVD، روش تبدیل موجک و یا بطور خاص CDF(۲,۲) به پیاده‌سازی سخت‌افزاری فشرده‌سازی تصویر به روش موجک CDF(۲,۲) پرداخته شده است. طراحی ارائه شده نشان‌دهنده این است که سازمان‌دهی مناسب داده‌ها (روش تقسیم‌بندی) و استفاده از خط لوله و پردازش موازی در بهینه‌سازی سخت‌افزاری مدار تاثیر زیادی دارد. در حقیقت هدف اصلی، ایجاد کارایی و سرعت بیشتر در CPLD ساخت شرکت Xilinx به نام XC9۵۷۲ می‌باشد. جزئیات طراحی کد گذار و همچنین نتایج بدست آمده نیز در پایان ارائه شده‌اند. نتایج مقایسه روش‌های مختلف فشرده‌سازی تصویر می‌تواند برای یک کاربر الگوی مناسبی جهت استفاده از روش بهینه را با توجه به نوع مسئله ارائه دهد. برای شبیه‌سازی از نرم‌افزار MATLAB و همچنین از C++ استفاده شده است.

کلید واژه: اهرام گاوسی، تبدیل موجک گسسته، تقسیم‌بندی، فشرده‌سازی تصویر، BTC، CDF(۲,۲)، CPLD، SVD.

۱- مقدمه

امروزه سیستم‌های پردازش تصویر می‌توانند تصاویر خام را با قدرت تفکیک و کیفیت دلخواه فشرده کنند و در نتیجه به سطوح متفاوتی از فشرده‌سازی برحسب کاربرد دست یابند. این نیاز همواره وجود داشته است که نسبت فشرده‌سازی را بتوان بسته به کاربرد مورد نظر تغییر داد. به عنوان مثال، می‌توان به انتقال بلادرنگ تصویر و ویدئو از طریق شبکه پکت سوئیچ اشاره کرد. تصاویر با کیفیت بالا که از استودیوها، عکس‌های پزشکی، اطلاعات لرزه‌شناسی، تصاویر ماهواره‌ای و تصاویر اسکن شده از نوشته‌های خطی به منظور حفظ آثار تاریخی بدست می‌آیند، به علت سایز عظیم داده‌ها به منظور ذخیره و نگهداری و همچنین برای ارسال از طریق تجهیزات مخابراتی با پهنای باند محدود، نیاز به فشرده‌سازی بدون تلفات دارند و حتی‌الامکان فشرده‌سازی با تلفات در مورد آنها باید به نحوی صورت گیرد که خطای دیده‌شده توسط چشم قابل صرف نظر باشد [۱]. بدین منظور باید قدرت تفکیک و نرخ بیت تصاویر فشرده‌شده تا حدی که چشم تشخیص ندهد کاهش یابد. جدول ۱ نمونه‌هایی از انواع داده‌های

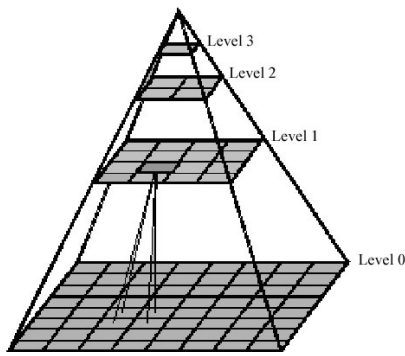
این مقاله در تاریخ ۴ تیر ماه ۱۳۸۴ دریافت و در تاریخ ۲۵ فروردین ماه ۱۳۸۵ بازنگری شد.

عباس علی لطفی نیستانک، پژوهشگر برق جهاد دانشگاهی، نارمک، تهران، کدپستی ۱۶۸۴۴، ایران (email: alotfi@iust.ac.ir).

محمد محقق حضرتی، دانشگاه آزاد اسلامی، واحد شهر ری، شهر ری، ایران. (email: mehdi1107@yahoo.com)

مهدی شاری، دانشگاه آزاد اسلامی، واحد شهر ری، شهر ری، ایران. (email: mo_hzi@yahoo.com)

نرگس احمدی، دانشکده مهندسی کامپیوتر، دانشگاه صنعتی امیرکبیر، تهران، ایران. (email: narges_ahmadi@yahoo.com)



شکل ۲: تصاویر فیلترشده بر روی یکدیگر قرار گرفته به شکل یک هرم.

$$m_u = \frac{1}{K} \sum_{x(i,j) < m} x(i,j) \quad (3)$$

$$m_i = \frac{1}{16-K} \sum_{x(i,j) \geq m} x(i,j)$$

که K تعداد پیکسل‌هایی است که سطح خاکستری آنها بیشتر از m باشد.

(ج) همچنین یک بلوک باینری (b) برای طبقه‌بندی پیکسل‌ها نیاز است. پیکسلی که سطح خاکستری‌اش بیشتر از m است با ۱ و پیکسلی که سطح خاکستری‌اش کمتر یا مساوی m است با صفر نشان داده می‌شود.

(د) قسمت کد گذار m_i ، m_u و b را در یک فایل ذخیره می‌کند. فرضاً اگر m_i و m_u هشت‌بیتی باشند، مجموع تعداد بیت‌های مورد نیاز برای نشان دادن یک بلوک، $8 + 8 + 16 = 32$ خواهد بود. بنابراین نرخ بیت برای الگوریتم BTC در این حالت ۲ bits/pixel خواهد بود. بدین مفهوم که میزان فشرده‌سازی تصویر برابر ۴ به ۱ خواهد شد (نرخ بیت تصویر اصلی برابر ۸ bits/pixel می‌باشد).

(ه) در قسمت کد گشایی، بلوک‌ها با جایگزینی یکجا بجای m_u و صرفاً بجای m_i بازسازی می‌شوند.

نتایج شبیه‌سازی الگوریتم BTC با نرم‌افزار MATLAB و بر روی یک تصویر 256×256 در شکل‌های ۱ و جدول ۲ نشان داده شده است. در این حالت نسبت فشرده‌سازی ۴:۱ است.

۳- فشرده‌سازی تصویر بر اساس اهرام گاوسی

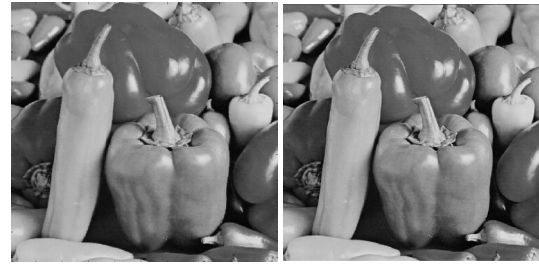
نحوه محاسبه هرم گاوسی^۴ بدین صورت است که تصویر اصلی با هسته گاوسی^۵ امتزاج می‌شود. تصویر بدست آمده یک نسخه فیلترشده پایین‌گذر تصویر اصلی می‌باشد. فرکانس قطع را می‌توان با پارامتر δ کنترل کرد. سپس لاپلاسیان که همان تفاوت میان تصویر اصلی و تصویر فیلترشده است، محاسبه می‌شود. این روند ادامه می‌یابد تا مجموعه‌ای از تصاویر فیلترشده میان‌گذر بدست آید (چون هر تصویر تفاوت بین دو سطح هرم گاوسی است). بنابراین همانطور که در شکل ۲ نشان داده شده است هرم لاپلاسیان مجموعه‌ای از فیلترهای میان‌گذر است.

فرض کنید که $I(x,y)$ ماتریس تصویر اصلی مورد نظر است. هرم گاوسی روی تصویر I به صورت زیر تعریف می‌شود

$$G_i(x,y) = I$$

$$G_{i+1}(x,y) = REDUCE(G_i(x,y)) \quad (4)$$

4. Gaussian Pyramid
5. Gaussian Kernel



شکل ۱: (الف) تصویر اصلی و (ب) تصویر فشرده‌شده با الگوریتم BTC.

جدول ۲: نتایج پیاده‌سازی الگوریتم BTC

زمان اجرای فشرده‌سازی (t)	۱۴,۲۶۰۰
برحسب ثانیه در MATLAB	
خطای MSE	۳۴,۹۹۰
PSNR برحسب dB	۳۲,۴۶۶۵
نرخ بیت (bits/pixel)	۲

در (۱)، $M = N = 256$ ، تصویر اصلی X و تصویر \hat{X} فشرده‌شده می‌باشند.

در این مقاله پس از مروری کوتاه بر روی روش‌های کلاسیک فشرده‌سازی تصویر از جمله^۱ BTC، اهرام گاوسی و SVD^۲ و موجک یا بطور خاص $CDF(2,2)$ [۵] و پیاده‌سازی آنها از لحاظ نرم‌افزاری بر روی یک تصویر نمونه، به ارزیابی و مقایسه این روشها پرداخته شده است. سپس روش موجک به عنوان یک روش کارا و ساده از جهت پیاده‌سازی بر روی یک تراشه CPLD به صورت سخت‌افزاری پیاده شده است. پلت‌فرم مورد استفاده کامپیوتر Pentium III (۸۰۰ MHz) می‌باشد.

CPLD ها یکی از کارآمدترین ابزارهای مدل‌سازی سخت‌افزاری می‌باشند و می‌توان آنها را با زبان سخت‌افزاری VHDL به نحوی برنامه‌ریزی نمود که کاربردهای مورد نظر را بدون هزینه‌هایی که مربوط به ساخت مدارهای مجتمع سفارشی است برآورده سازند. امروزه روشهای مختلف فشرده‌سازی بر روی تراشه‌های قابل برنامه‌ریزی پیاده شد و قابلیت بالای آنها بخوبی اثبات شده است. در مرجع [۶] یک نمونه از این پیاده‌سازی ارائه شده است.

۲- فشرده‌سازی تصویر با روش BTC

الگوریتم فشرده‌سازی تصویر BTC شامل مراحل زیر است:

(الف) ابتدا تصویر به بلوک‌های غیر همپوشان تقسیم می‌شود. سایز هر بلوک می‌تواند 4×4 یا 8×8 (برحسب پیکسل) باشد. ابتدا متوسط سطح خاکستری بلوک 4×4 محاسبه می‌شود [۷]

$$m = \frac{1}{16} \sum \sum x(i,j) \quad (2)$$

که $x(i,j)$ نمایانگر پیکسل‌ها در یک بلوک می‌باشد.

(ب) سپس پیکسل‌ها برحسب اینکه سطح خاکستری آنها بیشتر یا کمتر از متوسط فوق باشد به دو دسته طبقه‌بندی می‌شوند که متوسط سطح خاکستری آنها عبارتست از [۷]

1. Block Truncation Coding
2. Singular Value Decomposition
3. Cohen-Debuchies-Feaveu (2,2)

جدول ۳: نتایج پیاده‌سازی روش اهرام گاوسی

زمان اجرای فشرده‌سازی (t) برحسب ثانیه در MATLAB	۱۱,۰۳۶۰
خطای MSE	۱۰۸,۰۲۱۴
PSNR برحسب dB	۲۶,۸۲۳۶
نرخ بیت (bits/pixel)	۴



شکل ۳: (الف) تصویر اصلی و (ب) تصویر فشرده‌شده با الگوریتم اهرام گاوسی.

۴- فشرده‌سازی تصویر بر اساس SVD

اصولاً نمایش یک تصویر توسط یک ماتریس دوبعدی $m \times n$ صورت می‌پذیرد. در این روش ابتدا الگوریتم SVD به این ماتریس اعمال می‌شود تا ماتریس‌های U , S و V بدست آیند. S یک ماتریس قطری $n \times m$ است که عناصر غیر صفر آن روی قطر ماتریس، نشان‌دهنده رتبه ماتریس تصویر اصلی می‌باشند. مفهوم اساسی روش فشرده‌سازی تصویر SVD استفاده از تعداد رتبه‌های کمتری برای تقریب‌زدن ماتریس اصلی (ماتریس تصویر مورد نظر) می‌باشد [۹].

این عملیات را می‌توان برای تصاویر اصلی و بازسازی‌شده به ترتیب توسط (۸) و (۹) نمایش داد

$$A = USV^T \quad (۸)$$

$$S = \text{diag}(r_1, r_2, \dots, r_k, 0, \dots, 0)$$

$$A_k = US_k V_k^T \quad (۹)$$

$$S_k = \text{diag}(r_1, r_2, \dots, r_k)$$

که در این معادلات U ماتریس $m \times n$, V ماتریس $n \times m$, A_k ماتریس $m \times k$ و V_k ماتریس $k \times n$ است. بدین ترتیب

$$\|A - A_k\|_F = r_{k+1} \quad (۱۰)$$

تصاویر تست‌شده در این مقاله همگی ماتریس‌هایی مربعی ($m \times m$) می‌باشند. این تصاویر هر یک $256 \times 256 = 524288$ Bytes و حافظه برای ذخیره‌شدن نیاز دارند. با اعمال SVD و $K = 60$ نسبت فشرده‌سازی تقریباً برابر ۴ به ۱ می‌شود و حافظه اشغال‌شده حدود $30780 = 2mk + k$ بایت خواهد بود که یک‌چهارم حافظه اشغالی توسط ماتریس تصویر اصلی است. لازم به ذکر است که k باید مقداری کمتر از $m^2 / (1 + 2m)$ داشته باشد. که در این تصاویر مقدار k باید عددی کمتر از ۱۲۷ باشد. نتایج شبیه‌سازی الگوریتم SVD بر روی یک تصویر 256×256 در شکل ۴ و در جدول ۴ نشان داده شده است. نسبت فشرده‌سازی ۴:۱ است.

۵- تبدیل موجک گسسته

تا چندی پیش تبدیل فوریه برای تحلیل و بازسازی سیگنال مورد استفاده قرار می‌گرفت. اما تبدیل فوریه هیچ اطلاعات محلی از سیگنال اصلی را شامل نمی‌شود. سپس تبدیل فوریه زمان کوتاه (STFT) یا تبدیل گابور) ارائه شد که بطور یکنواختی از صفحه زمان-فرکانس نمونه‌برداری می‌کرد. در نهایت با ارائه تبدیل موجک، تفکیک زمانی خوب و تفکیک فرکانسی ضعیف در فرکانس‌های بالا و تفکیک فرکانسی خوب و تفکیک زمانی ضعیف در فرکانس‌های پایین بدست آمد.

عملگر REDUCE با امتزاج تصویر با فیلتر پایین‌گذر گاوسی صورت می‌گیرد. این فیلتر به نحوی طراحی شده است که پیکسل مرکزی، وزن بیشتری نسبت به پیکسل‌های مجاور دارد و عبارات باقیمانده به نحوی انتخاب می‌شوند که مجموع آنها ۱ باشد. هسته گاوسی توسط فرمول زیر تعریف می‌شود [۸]

$$w(r, c) = w(r)w(c) \quad (۵)$$

که $w(r)$ عبارتست از

$$\left(\frac{1-a}{4} \frac{1}{2} \frac{1}{4} a \frac{1}{4} \frac{1-a}{4} \frac{1}{2} \right)$$

a مقداری بین ۰/۳ تا ۰/۶ در نظر گرفته می‌شود. خطای پیش‌بینی $L_i(x, y)$ به صورت زیر است

$$L_i(x, y) = G_i(x, y) - EXPAND(G_{i+1}(x, y)) \quad (۶)$$

عملگر EXPAND به صورت زیر تعریف می‌شود

$$G_{i+1}(x, y) = \sum_{m=-2}^2 \sum_{n=-2}^2 w(m, n) G_i \left(\frac{x-m}{2}, \frac{y-n}{2} \right) \quad (۷)$$

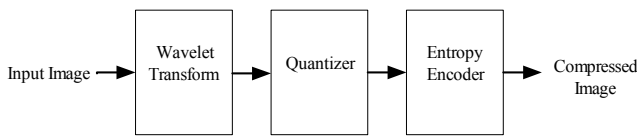
تنها عباراتی که به ازای آنها عبارات $(x-m)/2$ و $(y-n)/2$ منجر به عدد صحیحی شود در مجموع (sum) در نظر گرفته شده و بجای G_i , L_i و L_{i+1} کد می‌شوند. این مطلب منجر به فشرده‌سازی داده خالص می‌شود چون:

- L_i بسیار ناهمبسته^۱ است پس می‌توان آن را پیکسل به پیکسل و با تعداد بیت بسیار کمتر نسبت به G_i نمایش داد.

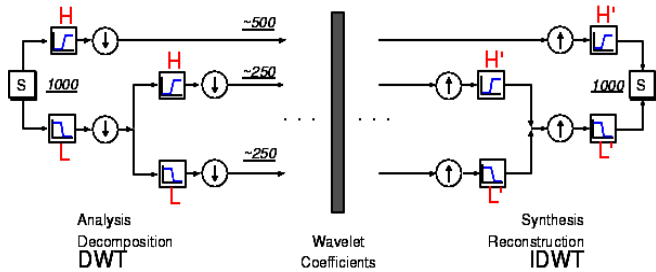
- G_i فیلتر پایین‌گذر بوده که می‌توان آن را با نرخ نمونه‌برداری کمتری کد کرد. با تکرار این روند می‌توان به فشرده‌سازی بیشتر داده دست یافت. با تکرار این مراحل می‌توان به ترتیب به تصاویر L_1, L_2, L_3, \dots و L_n دست یافت. حال اگر تصور کنیم که این تصاویر بر روی یکدیگر قرار گرفته باشند، نتیجه یک ساختار هرم‌شکل خواهد بود. بنابراین از هرم لاپلاس می‌توان برای نمایش یک سری تصاویر فیلترشده میان‌گذر استفاده کرد که هر یک با نرخ نمونه‌برداری کمتری نسبت به تصویر قبلی بدست آمده‌اند. این روش به خاطر سادگی محاسبات و سرعت بیشتر، در پردازش تصویر، شناخت الگوی تصاویر و فشرده‌سازی تصویر مورد استفاده قرار می‌گیرد.

نتایج شبیه‌سازی الگوریتم اهرام گاوسی با نرم‌افزار MATLAB و بر روی یک تصویر 256×256 در شکل ۳ و جدول ۳ نشان داده شده‌است. در این حالت نسبت فشرده‌سازی ۲:۱ است.

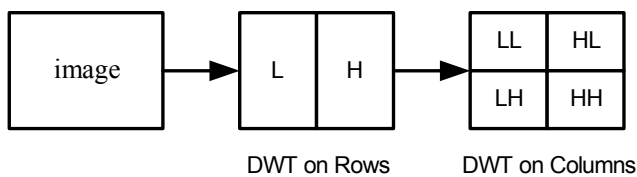
1. Uncorrelated



شکل ۶: بلوک دیاگرام یک کدر معمولی تصویر بر اساس موجک.



شکل ۷: فیلتربانک تجزیه و بازسازی.



شکل ۸: DWT دوبعدی اعمال شده بر روی سطرها و ستون‌های تصویر.

تبدیل معکوس نیز با up-sample کردن و سپس استفاده از فیلترهای بازسازی L' و H' می‌باشد که در اکثر مواقع معکوس فیلترهای L و H می‌باشند (شکل ۷). دو فیلتر تجزیه $(2,2)$ CDF عبارتند از [۱۰]

$$H = d_{1,i} = s_{2i+1} - \left[\frac{1}{4}(s_{2i} + s_{2i+2}) + \frac{1}{4} \right] \quad (11)$$

$$L = s_{1,i} = s_{2i} + \left[\frac{1}{4}(d_{1,i-1} + d_{1,i}) + \frac{1}{4} \right]$$

این فیلتربانک از H و L برای پیش‌بینی و به‌روز رسانی سیگنال استفاده می‌کند.

بعد از اعمال DWT یک‌بعدی روی سطرهای ماتریس تصویر اصلی، روی تصویر تبدیل‌شده نیز دوباره تبدیل DWT روی ستون‌های ماتریس صورت می‌گیرد (شکل ۸).

مربع بالایی در سمت چپ شامل تمامی ضرایبی است که توسط اعمال فیلتر پایین‌گذر L روی سطرها و ستون‌ها بدست آمده است. در اغلب مواقع، اطلاعات فرکانس بالا در تصویر از نظر چشم قابل ملاحظه نیستند پس می‌توان آنها را حذف کرد.

پیاده‌سازی الگوریتم موجک $(2,2)$ CDF در نرم‌افزار MATLAB و همچنین بوسیله [۱۱] انجام پذیرفته و نتایج آن بر روی یک تصویر 256×256 در شکل ۹ و جدول ۵ نشان داده شده است. نسبت فشرده‌سازی ۴:۱ است.

در جدول ۶ مقایسه این چهار روش با هم و در مقایسه با روش مرجع JPEG (DCT) آورده شده است.

۱-۵ کوانتیزاسیون و کدینگ انتروپی

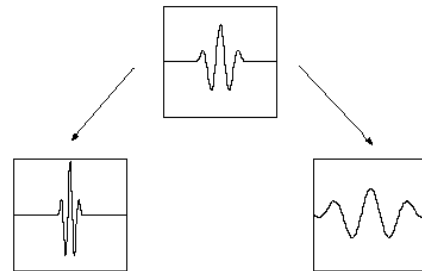
هم‌اکنون تمامی زیرباندهای^۱ مولفه‌های تبدیل‌شده کوانتیزه می‌شوند.

1. Sub-Band



شکل ۴: (الف) تصویر اصلی و (ب) تصویر فشرده‌شده با الگوریتم SVD.

شکل ۴: (الف) تصویر اصلی و (ب) تصویر فشرده‌شده با الگوریتم SVD.



شکل ۵: موجک مادر و نسخه‌های شیف‌ت یافته (مقیاس داده شده) آن.

جدول ۴: نتایج پیاده‌سازی الگوریتم SVD

زمان اجرای فشرده‌سازی (t) برحسب ثانیه در MATLAB	۸۳٫۹۱۱۰
خطای MSE	۵۲٫۹۱۱
PSNR برحسب dB	۳۰٫۶۵۸۱
نرخ بیت (bits/pixel)	۲

در سال ۱۹۸۶، Meyer و Mallat دریافتند که تجزیه و بازسازی موجک ارتونرمال را می‌توان در غالب تحلیل سیگنال با قدرت تفکیک‌های مختلفی پیاده‌سازی کرد. در حقیقت ما قادریم سیگنال را در چندین باند فرکانسی تحلیل کنیم. اصول موجک، مجموعه‌ای از موجهاست که توسط مقیاس‌هایی از موجک مادر مطابق با شکل ۵ بدست می‌آیند.

در حوزه پردازش تصویر، تبدیل موجک در کاربردهایی از قبیل فشرده‌سازی تصویر و بازسازی آن، استخراج قسمت‌های خاص تصویر با کیفیت بالاتر، حذف نویز و ثبت تصویر مورد استفاده قرار می‌گیرد. فشرده‌کننده‌های با تلفات که بر اساس موجک می‌باشند، از سه مولفه اصلی تشکیل می‌شوند:

- ۱- یک فیلتر بانک موجک که تصویر را به ضرایب موجک تبدیل می‌کند.
- ۲- این ضرایب کوانتیزه می‌شوند.
- ۳- در نهایت فشرده‌ساز انتروپی روی آنها اعمال می‌شود تا تصویر فشرده‌شده مطابق شکل ۶ حاصل شود.

انتخاب فیلتر و در نتیجه خواص موجک متناظر با آن به الگوریتم فشرده‌سازی (روش کوانتیزاسیون و اختصاص بیتها) بستگی دارد. این مقاله از الگوریتم فشرده‌سازی zerotree که برای اولین بار توسط شاپیرو [۱۰] ارائه شد، بهره می‌گیرد.

در اینجا ما تنها تبدیل‌های موجک را برای پردازش و آنالیز داده‌های تصویر دوبعدی بررسی می‌کنیم. سیگنال از دو فیلتر بالاگذر و پایین‌گذر L و H عبور می‌کند. سپس با ضریب دو down-sample می‌شود.

جدول ۵: نتایج پیاده‌سازی الگوریتم موجک CDF(۲,۲)

زمان اجرای فشرده‌سازی در MATLAB	۲۳,۲۹۳۰ s
زمان اجرای فشرده‌سازی در C++	۲,۱ s
خطای MSE	۲۹,۴۵۹
PSNR برحسب dB	۳۸,۷۴۵۹
نرخ بیت (bits/pixel)	۱



(الف) تصویر اصلی و (ب) تصویر فشرده‌شده توسط CDF(۲,۲).

شکل ۹: (الف) تصویر اصلی و (ب) تصویر فشرده‌شده توسط CDF(۲,۲).

جدول ۶: مقایسه روش‌های مختلف فشرده‌سازی

	BTC	اهرام گاوسی	SVD	JPEG (DCT)	Wavelet CDF(۲,۲)
زمان اجرای فشرده‌سازی (sec) در نرم‌افزار MATLAB	۱۴,۲۶۰۰	۱۱,۰۳۶۰	۸۳,۹۱۱۰	۲۴,۹۴۶۰	۲۳,۲۹۳۰
MSE	۳۴,۹۹۰	۱۰,۸۰۲۱۴	۵۲,۹۱۱	۳۳,۵۶۷	۲۹,۴۵۹
PSNR برحسب dB	۳۲,۴۶۶۵	۲۶,۸۲۳۶	۳۰,۶۵۸۱	۳۶,۹۷۷۱	۳۸,۷۴۵۹
نرخ بیت (bits/pixel)	۲	۴	۲	۱,۲۵	۲
پیاده‌سازی سخت‌افزاری	نسبتاً سخت	نسبتاً سخت	سخت	متوسط	ساده

۶- معماری سخت‌افزار و جزئیات طراحی

طبیعت پیکربندی مجدد CPLD امکان پیاده‌سازی الگوریتم تبدیل موجک گسسته را به منظور فشرده‌سازی تصویر فراهم می‌آورد. XC۹۵۷۲ یک CPLD کارآمد است که از قابلیت برنامه‌ریزی به صورت درون-سیستم^۱ و همچنین توانایی تست برای یکپارچه‌سازی منطقی برخوردار است. این CPLD از ۱۸۷۳۶ بلوک تابع تشکیل شده است که ۱۶۰۰ گیت با تاخیر انتشار پایین و توانایی I/O ی ۳/۳ یا ۵ ولت را دارد. این CPLD دارای ۷۲ ماکروسل است که هر یک را می‌توان با کابل JTAG ByteBlaster توسط درگاه موازی پیکربندی کرد [۱۴].

طراحی سخت‌افزاری توسط زبان VHDL نوشته‌شده و در نرم‌افزار Foundation^۲ مورد سنتز قرار گرفته و سپس توسط کابل JTAG در نرم‌افزار IMPACT به روی CPLD پیکربندی شده است. تصویر اصلی موجود در کامپیوتر به زیرتصویرهایی تقسیم شده که هم بوسیله درگاه سری (توسط ATmega۸۵۳۵) و هم بوسیله درگاه موازی به CPLD قابل انتقال می‌باشد. پس از اعمال تبدیل موجک، ضرایب محاسبه‌شده به کامپیوتر ارسال می‌گردد.

۷- نتایج تجربی

در این بررسی، زمان کلی I/O از نظر تجربی بسیار بیشتر از زمان محاسبات بوده و در نتیجه نرخ ارسال داده بین حافظه کامپیوتر پنتیوم III و CPLD زمان بسیاری را به خود اختصاص می‌دهد. پیاده‌سازی نرم‌افزاری CDF(۲,۲) توسط یک کد در نرم‌افزار MATLAB صورت پذیرفته است. همچنین بوسیله کد C++ مقایسه‌ای میان سرعت اجرا در نرم‌افزار و سخت‌افزار صورت گرفته است. این مقایسه حاکی از آن است که پیاده‌سازی سخت‌افزاری سرعت بالاتری دارد، زیرا نرم‌افزار در ریزپردازنده کامپیوتر به صورت ترتیبی عملیات پردازش را انجام می‌دهد، درحالی‌که سخت‌افزار به صورت موازی و همزمان، اطلاعات

کوانتیزاسیون عامل اصلی فشرده‌سازی با تلفات است. تنها یک مرحله کوانتیزاسیون (یعنی عددی که ضرایب موجک به آن تقسیم می‌شوند) برای هر زیرباند مجاز می‌باشد و نتیجه به عدد صحیح کمتر قبلی گرد می‌شود [۱۲]. این کار توسط یک کد در نرم‌افزار MATLAB صورت پذیرفته است. آنتروپی مفهوم مشترکی در بسیاری از کاربردها خصوصاً پردازش سیگنال دارد. ما به کمک یک کد نوشته‌شده در MATLAB آنتروپی Shannon را روی تصویر کوانتیزه‌شده اعمال نمودیم. در عبارت زیر، s سیگنال و $s(i)I$ ضرایب s در مینای ارتونرمال می‌باشد. آنتروپی شانون E طوری تعریف می‌شود که $E(0) = 0$ و

$$E(s) = \sum_i E(s_i) \quad (12)$$

آنتروپی شانون (غیر نرمالیزه) به صورت زیر تعریف می‌شود:

$$E_1(s_i) = s_i^{-1} \log(s_i^{-1})$$

$$E_1(s) = -\sum s_i^{-1} \log(s_i^{-1}) \quad (13)$$

لازم به ذکر است که: $\log(0) \times 0 = 0$.

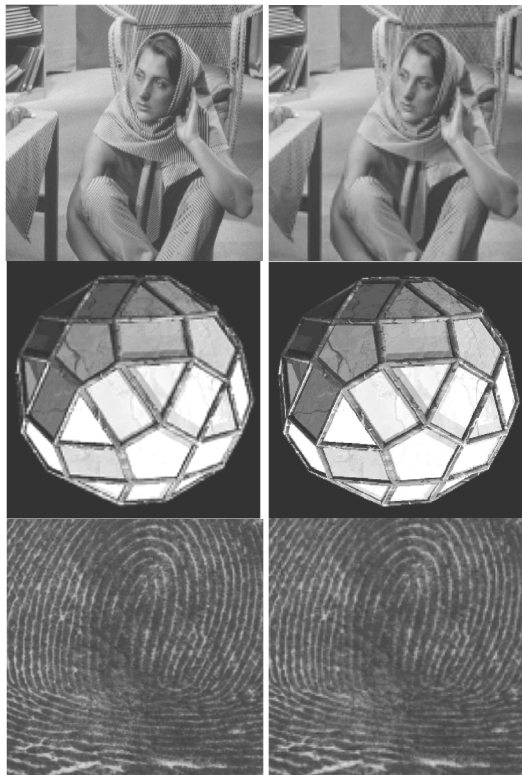
۵-۲ روش تقسیم‌بندی

با توجه به اینکه در پیاده‌سازی سخت‌افزاری از XC۹۵۷۲ استفاده شده است، سودجستن از روش پارتیشن‌بندی بسیار مناسب و کارا به نظر می‌رسد [۱۳] زیرا به منظور محاسبه تبدیل دوبعدی DWT ما باید تصویر را در حافظه خارجی (RAM) ذخیره کنیم و در مورد XC۹۵۷۲ حافظه خارجی قادر نیست تمامی تصویر را که ممکن است از چند کیلوبایت الی چند مگابایت باشد در خود ذخیره کند.

در این حالت، اگر تصویر به بلوک‌های غیرهمپوشان به نام "زیرتصویرها" تقسیم شود، قابلیت ذخیره در RAM خارجی را خواهد داشت. سپس می‌توانیم تبدیل موجک دوبعدی را روی زیرتصویرها انجام دهیم. در اینجا سایز زیرتصویرها ۳۲×۳۲ می‌باشد. شکل ۱۰ نشان‌دهنده روش تقسیم‌بندی در مقایسه با روش معمولی است.

1. In-System

2. <http://www.xilinx.com>



شکل ۱۲: تصاویر اصلی (چپ) و تصاویر فشرده شده (راست).

جدول ۷: مقایسه سرعت سخت افزار و نرم افزار در روش فشرده سازی CDF(۲,۲).

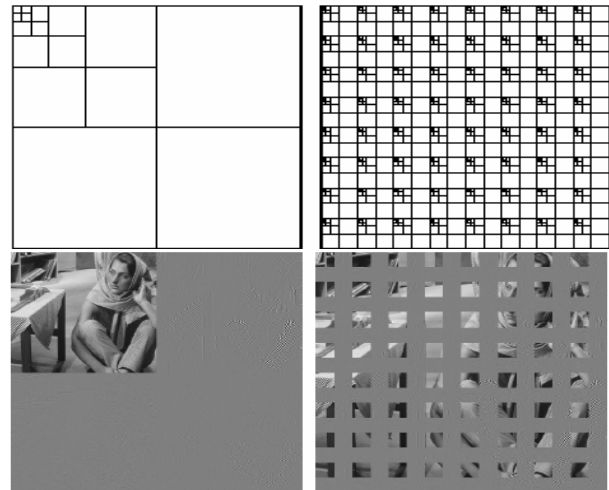
Image	C++	MATLAB	CPLD (XC95۷۲)
Barbara	۲ s	۲۱,۲ s	۲۰۳,۱ ms
Facets	۲,۳ s	۲۵,۲ s	۲۰۴ ms
Fingerprint	۱,۹ s	۲۰ s	۱۹۵,۳ ms

جدول ۸: نتایج روش فشرده سازی CDF(۲,۲)

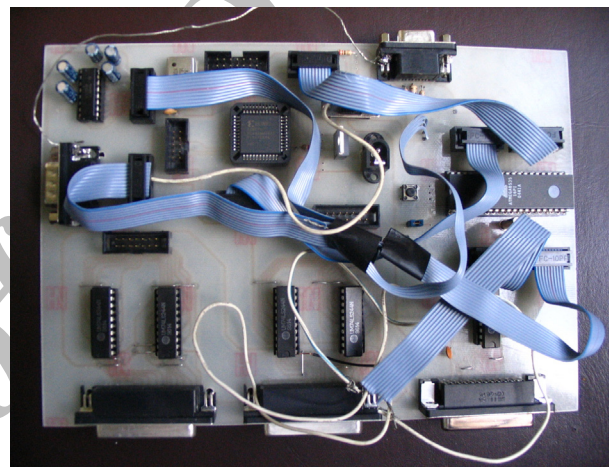
Images	Barbara	Facets	Fingerprint
Size	۲۵۶×۲۵۶	۲۵۶×۲۵۶	۲۹۶×۲۹۶
Decomposition Level	۱	۱	۱
MSE	۲۰۴,۷۷۶	۴۴,۶۷۴۵	۶۴,۴۳۲
PSNR (dB)	۲۵,۰۱۷	۳۰,۸۹۴	۳۰,۰۳۸
Bit Rate(bit/pixel)	۰,۹۰۶	۰,۸۷۸	۰,۹۱۶

۸- نتیجه گیری

بررسی شبیه سازی این پنج روش نشان دهنده این واقعیت می باشد که از نقطه نظر فشرده سازی با تلفات، الگوریتم های CDF(۲,۲) از سایر الگوریتم ها کارآمدتر می باشند و با توجه به جدول ۶ با نرخ بیت کمتر، قابلیت فشرده سازی تصاویر با کیفیت بالا را دارند. لازم به ذکر است که زمان اجرای الگوریتم ها در نرم افزار MATLAB و C++ به الگوریتم برنامه نویسی، قدرت پردازشگر و دفعات ارجاع به حافظه بستگی دارد. همچنین بسته به نوع کوانتیزاسیون و سایز بلوک ها در الگوریتم های JPEG و موجک CDF(۲,۲) می توان نرخ بیت متناسب با کاربرد خاص را برآورده ساخت.



شکل ۱۰: روش پارتیشن بندی در مقایسه با روش معمولی.



شکل ۱۱: مدار چاپی فشرده ساز CDF(۲,۲).

را پردازش می کند و فرکانس ساعت کمتری را برای رسیدن به نتیجه نیاز خواهد داشت (جدول ۷).

این طراحی در ۴۸ ماکروسل از XC95۷۲ پیاده سازی شد که متناظر با ۶۷٪ از کل فضای تراشه می باشد. شکل ۱۱ شمایی از طرح سخت افزار طراحی شده به همراه مدارات جانبی آن را نشان می دهد.

شکل ۱۲ همراه با جدول ۸، نتایج بدست آمده را برای سه تصویر Barbara، Facets و Fingerprint نشان می دهد. به علت اینکه ضرایب فیلتر نیز در الگوریتم کد می شوند، از فیلترهای یکسانی برای فشرده سازی انواع تصاویر از قبیل تصویرهای طبیعی، سنتتیک، پزشکی، هوایی، اسکن شده، ترکیبی و ... استفاده می شود. این موضوع در فشرده سازی بدون تلفات نیز مصداق دارد. باید توجه داشت که روش کلی انتخاب فیلتر همواره بهترین کیفیت را از نقطه نظر کاربردهای خاص به دنبال نخواهد داشت.

متأسفانه در اکثر نتایج منتشر شده در تجربیات کدینگ تصویر از چند فیلتر خاص موجک معلوم استفاده می شود و همچنین تصاویر تست شده نیز عموماً مشابه هستند. تاکنون هیچ مطالعه سیستماتیکی برای اینکه موجک های متفاوت چه تاثیری بر روی کارایی و کدینگ تصاویر متفاوت دارند، صورت نپذیرفته است. بنابراین در آینده طراحی هایی که بر اساس CPLD صورت می گیرند باید از کدهای نرم افزاری GUI بهره گیرند که دسترسی به پایگاه اطلاعاتی موجک ها دارند و بطور هوشمند به ارائه طرح های سخت افزاری مطابق با نیازمندی های کاربر از قبیل نرخ بیت، کلاس موج استفاده شده و کدینگ نواحی مورد نظر می پردازند.

مراجع

- [1] K. Z. Bukhari, *Visual Data Transforms Comparison*, M. S. Thesis, Delft University of Technology, The Netherlands, pp. 28-32, Aug. 2002.
- [2] M. B. Wakin, J. K. Romberg, H. Choi, and R. G. Baraniuk, "Geometric methods for wavelet-based image compression," *Wavelets X in SPIE International Symposium on Optical Science and Technology*, pp. 507-520, San Diego, California, Aug. 2003.
- [3] M. B. Wakin, J. K. Romberg, H. Choi, and R. G. Baraniuk, "Geometric tools for image compression," in *Proc. 36th Asilomar Conf. on Signals, Systems, Computers, Pacific Grove, and CA*, vol. 2, pp. 1725-1729, Nov. 2002.
- [4] B. E. Usevitch, "A tutorial on modern lossy wavelet image compression: foundations of JPEG2000," *IEEE Signal Processing Magazine*, vol. 18, no. 5, pp. 22-35, Sep. 2001.
- [5] R. Calderbank, I. Daubechies, W. Sweldens, and B. L. Yeo, "Lossless image compression using integer to integer wavelet transforms", in *Proc. Int. Conf. on Image Proc. (ICIP)*, vol. 1, pp. 596-599, 1997.
- [6] M. Sima, S. Cotafona, S. Vassiliadis, and J. T. J. van Eindhoven, "8x8 IDCT implementation on an FPGA-augmented trimedia," in *Proc. IEEE Symp. on FPGAs for Custom Computing Machines FCCM 2001*, pp. 160-169, California, Apr. 2001.
- [7] E. J. Delp and O. R. Mitchell, "Image compression using block truncation coding," *IEEE Trans. on Communications*, vol. 27, no. 9, pp. 329-336, Sep. 1979.
- [8] A. Prakash Asirvatham, *Gaussian and Laplacian Pyramids*, Technical Report, International Institute of Information Technology, 2002. <http://gdit.iit.net/~arul/report/node12.html>
- [9] D. Kalman, "A singularly valuable decomposition: the SVD of a matrix," *The College Mathematics J.*, vol. 27, no. 1, pp. 2-23, Jan. 1996.
- [10] J. Shapiro, "Embedded image coding using zero trees of wavelet coefficients," *IEEE Trans. Signal Processing*, vol. 41, no. 12, pp. 3445-3462, Dec. 1993.
- [11] S. G. Mathen, *Wavelet Transform Based Adaptive Image Compression on FPGA*, M. S. Thesis, University of Calicut, Calicut, India, 1995.
- [12] D. Rebollo and B. Girod, "Design of optimal quantizers for distributed source coding," in *Proc. Data Compression Conf. DCC'03*, pp. 13-22, Mar. 2003.
- [13] J. Ritter and P. Molitor, "A pipelined architecture for partitioned DWT based lossy image compression using FPGA's," in *Proc. IEEE Conf. FPGA*, pp. 201-206, 2001.
- [14] *XC9572 In-System Programmable CPLD*, Xilinx's product specification datasheet, Version 3.0, released Dec. 4, 1998.

عباس‌علی لطفی نیستانک متولد ۱۳۵۰ در تهران بوده و تحصیلات خود را در مقطع کارشناسی مخابرات و کارشناسی ارشد الکترونیک بترتیب در سالهای ۱۳۷۲ و ۱۳۷۶ و دکتری مخابرات در سال ۱۳۸۳ از دانشگاه علم و صنعت ایران به پایان رسانده است. نامبرده در سالهای ۱۳۷۴ الی ۱۳۷۷ به عنوان مهندس فنی در طراحی شبکه در صدا و سیما جمهوری اسلامی ایران مشغول بکار بوده است. ایشان در چند سال اخیر در دانشگاه‌های آزاد اسلامی، علم و صنعت و شاهد و پژوهشکده برق جهاد دانشگاهی به تدریس و تحقیق اشتغال داشته‌است. زمینه‌های تحقیقاتی مورد علاقه ایشان عبارتند از: مدارهای فعال و غیر فعال میکروویو، آنتن‌های میکرواستریپ، الگوریتم‌های بهینه‌سازی، طراحی شبکه‌های رادیویی و طراحی مدارهای الکترونیکی فرکانس بالا. دکتر لطفی تاکنون بیش از ۳۰ مقاله در مجلات و همایش‌های معتبر داخلی و خارجی منتشر کرده است.

محمد محقق حضرتی متولد ۱۳۶۱ تحصیلات خود را در مقطع کارشناسی در رشته مهندسی برق با گرایش مخابرات در سال ۱۳۸۳ در دانشگاه آزاد اسلامی به پایان رسانده است. آقای حضرتی تاکنون ۳ مقاله در مجلات و همایش‌های داخلی و خارجی ارائه کرده‌اند. زمینه‌های تحقیقاتی مورد علاقه ایشان عبارتند از: فشرده‌سازی تصویر، طراحی مدارهای FPGA، میکروکنترلرهای AVR.

مهدی شاعری متولد ۱۳۶۰ در تهران بوده و تحصیلات خود را در مقطع کارشناسی مهندسی برق در سال ۱۳۸۴ از دانشگاه آزاد اسلامی به پایان رسانده است. آقای شاعری تاکنون ۳ مقاله در مجلات و همایش‌های داخلی و خارجی ارائه کرده‌اند. زمینه‌های تحقیقاتی مورد علاقه ایشان عبارتند از: فشرده‌سازی تصویر، طراحی مدارهای FPGA، میکروکنترلرهای AVR، کاربرد فیبرهای نوری و رادیودیتا.

نرگس احمیدی متولد ۱۳۵۷ در تهران بوده و تحصیلات خود را در مقطع کارشناسی مهندسی کامپیوتر نرم‌افزار و کارشناسی ارشد مهندسی کامپیوتر گرایش هوش مصنوعی و ریاضیک به ترتیب در سالهای ۱۳۸۰ و ۱۳۸۲ در دانشگاه صنعتی امیرکبیر به پایان رسانده است. زمینه‌های تحقیقاتی مورد علاقه ایشان پردازش تصویر، شناسایی الگو، امنیت سیستم‌های چندرسانه‌ای، مهندسی نرم‌افزار و مدیریت شبکه‌های کامپیوتری می‌باشد. در سال ۱۳۸۰ ایشان برنده جایزه جوان جشنواره خوارزمی گردید و تاکنون ۹ مقاله در کنفرانس‌های معتبر داخلی و خارجی ارائه کرده‌اند.